

НЕЛОКАЛЬНЫЕ ГРАВИТАЦИОННЫЕ ТЕОРИИ И ИЗОБРАЖЕНИЯ ТЕНЕЙ ЧЕРНЫХ ДЫР

С.О. Алексеев^{a,b}, А.А. Байдерин^b, А.В. Немтинова^c, О.И. Зенин^b*

^a Государственный астрономический институт им. П. К. Штернберга,
Московский государственный университет им. М. В. Ломоносова
119234, Москва, Россия

^b Кафедра квантовой теории и физики высоких энергий, физический факультет,
Московский государственный университет им. М. В. Ломоносова
119234, Москва, Россия

^c Уральский федеральный университет им. первого Президента России Б. Н. Ельцина
620002, Екатеринбург, Россия

Поступила в редакцию 28 ноября 2023 г.,
после переработки 4 декабря 2023 г.
Принята к публикации 4 декабря 2023 г.

С помощью метода Ньюмена–Яниса получено новое вращающееся решение «черная дыра» (ЧД) в гравитации с нелокальными поправками. Предложен способ учета поправок от квантовой гравитации при моделировании теней ЧД с использованием вращающихся метрик ЧД. Метод применим и для других нелокальных моделей с аналогичной структурой ЧД-решений. Показано, что в будущем при увеличении точности наблюдений и, следовательно, необходимости более точного их теоретического моделирования в некоторых случаях удобнее учитывать полевые и/или нелокальные поправки вместо введения новых полей.

DOI: 10.31857/S0044451024040059

$$\begin{aligned} L = & R + c_1 R^2 + c_2 R_{\mu\nu} R^{\mu\nu} + c_3 R_{\mu\nu\alpha\beta} R^{\mu\nu\alpha\beta} + \\ & + \alpha R \log \frac{\square}{\mu^2} R + \beta R_{\mu\nu} \log \frac{\square}{\mu^2} R^{\mu\nu} + \\ & + \gamma R_{\mu\nu\alpha\beta} \log \frac{\square}{\mu^2} R^{\mu\nu\alpha\beta}, \end{aligned} \quad (1)$$

1. ВВЕДЕНИЕ

Идея использования нелокальных членов в действии расширенных моделей гравитации обсуждается довольно продолжительное время [1]. Использование такого подхода дает еще одну возможность построить модель темной энергии. Нелокальные конструкции использовались, например, в моделях Рэндалл–Сандрума [2]. Отметим, что рассмотрение нелокальных членов позволило установить новые ограничения на гравитационные модели, используя данные физики высоких энергий [3]. Таким образом, нелокальные операторы появляются в эффективном действии квантовой гравитации:

где R — скаляр Риччи, $R_{\mu\nu}$ и $R_{\mu\nu\alpha\beta}$ — тензоры Риччи и Римана соответственно, c_i , α , β и γ — числовые коэффициенты, определенные в [4]. Решения вида «черная дыра» для действия (1) получено и имеет вид (в сигнатуре $(-, +, +, +)$)

$$ds^2 = -f_t dt^2 + f_r dr^2 + r^2 d\Omega^2, \quad (2)$$

где f_t, f_r — метрические функции,

$$\begin{aligned} f_t &\simeq \left(1 - \frac{2G_n M}{r}\right) - \frac{\hat{\alpha} \hbar G_n^2 M}{r^3} + O(G_n^3), \\ f_r &\simeq \left(1 - \frac{2G_n M}{r}\right)^{-1} - \frac{\hat{\beta} \hbar G_n^2 M}{r^3} + O(G_n^3). \end{aligned}$$

Величины $\hat{\alpha}$ и $\hat{\beta}$ — это линейные комбинации калибровочных коэффициентов из табл. 1 в работе [4], M — масса черной дыры (ЧД), G_n — эффективная гравитационная постоянная.

* E-mail: alexeyev@physics.msu.ru

Подчеркнем несколько важных моментов. Структура нелокальных действий в разных теориях может иметь похожий вид, поэтому и их ЧД-решения будут аналогичны. Наиболее перспективным и хорошо разработанным решением подобного типа является уравнение (2). Особенность его в наличии комбинаций вида $G_n M$, т. е. масса ЧД M умножается на квантовый коэффициент G_n . С учетом реальной массы Sgr A* разница между этими двумя величинами составит по порядку величины 10^{44} , поэтому влияние нелокальной части будет исчезающе малым. Однако продолжение моделирования теней черных дыр важно для того, чтобы а) разработать модельно-независимый подход к учету эффектов квантовой гравитации; б) найти способ учета нелокальных членов для действий аналогичной структуры, но с коэффициентами другого порядка, чтобы применять предложенную схему для теоретического моделирования теней ЧД с дополнительными степенями свободы без добавления новых полей. Аналогично простая оценка применимости метрики (2) со значениями из [4] для описания ускоренного расширения Вселенной (для расчета радиуса разворота [5]) дает отрицательный результат по той же причине, о которой говорилось выше: малости вклада поправок.

Далее, как легко видеть из уравнения (2), ЧД сферически-симметрична, содержит следующие степени разложения. Поскольку изображения теней ЧД при увеличении точности способны дать дополнительную информацию и о структуре теории гравитации (например, о «приливном заряде» [6–11]), представляется интересным использовать последние результаты проекта Event Horizon Telescope (ЕНТ) [12]. Важно, что оба объекта, полученные на ЕНТ, представляют собой врачающиеся ЧД. Между тем обсуждаемая нами метрика из [4] представляет собой невращающуюся ЧД. Таким образом, чтобы повысить точность теоретических предсказаний, необходимо получить решение керровского типа на основе существующего, а после использовать для моделирования полученную метрику керровского типа.

Для выполнения заявленной программы статья построена следующим образом. Раздел 2 посвящен получению врачающейся метрики, в разд. 3 мы обсуждаем особенности теней для врачающихся метрик, в разд. 4 изложены результаты нашего моделирования теней черных дыр в рамках метрики (2) с вращением, в разд. 5 проведено сравнение наших результатов для Sgr A* с полученными от Event

Horizon Telescope, а разд. 6 содержит обсуждение полученных результатов и выводы.

2. ПОЛУЧЕНИЕ ВРАЩАЮЩЕГОСЯ РЕШЕНИЯ

2.1. Использование метода Ньюмена–Яниса

Для получения врачающейся версии метрики черной дыры часто используют алгоритм [11, 13], рассматривающий врачающийся случай как обобщение невращающегося и названный алгоритмом Ньюмена–Яниса [14]. Следуя алгоритму, в качестве первого шага метрику необходимо представить в координатах Эддингтона–Финкельштейна (u, r, θ, ϕ), используя преобразование

$$dt = \sqrt{\frac{f_r}{f_t}} du + dr. \quad (3)$$

Тогда метрику (2) можно переписать как

$$ds^2 = -f_t du^2 - 2\sqrt{f_r f_t} dudr + r^2 d\Omega^2. \quad (4)$$

Далее, вводим комплексную тетраду

$$e^a = (l^\mu, n^\mu, m^\mu, m^{*\mu}).$$

Условия для тетрады задаем в виде

$$\eta^{ab} = \begin{pmatrix} 0 & -1 & 0 & 0 \\ -1 & 0 & 0 & 0 \\ 0 & 0 & 0 & 1 \\ 0 & 0 & 1 & 0 \end{pmatrix}, \quad (5)$$

и далее

$$\begin{aligned} l^\mu &= \delta_r^\mu, \\ n^\mu &= \sqrt{\frac{1}{f_r f_t}} \delta_u^\mu - \frac{1}{2f_r} \delta_r^\mu, \\ m^\mu &= \sqrt{\frac{1}{2r^2}} \left(\delta_\theta^\mu + \frac{i}{\sin \theta} \delta_\phi^\mu \right), \\ m^{*\mu} &= \sqrt{\frac{1}{2r^2}} \left(\delta_\theta^\mu - \frac{i}{\sin \theta} \delta_\phi^\mu \right). \end{aligned}$$

Для включения в рассмотрение вращения вводим комплексное преобразование в виде

$$\begin{aligned} r &\rightarrow r' = r - ia \cos \theta, \\ u &\rightarrow u' = u + ia \cos \theta, \end{aligned}$$

где a — угловой момент. После применения преобразования функции f_t , f_r и квадрат радиальной координаты r^2 примут вид

$$f_r \rightarrow \tilde{F}_r(r, \theta, a), \quad (6)$$

$$\lim_{a \rightarrow 0} \tilde{F}_r(r, \theta, a) = f_r, \quad (7)$$

$$f_t \rightarrow \tilde{F}_t(r, \theta, a), \quad (8)$$

$$\lim_{a \rightarrow 0} \tilde{F}_t(r, \theta, a) = f_t, \quad (9)$$

$$r^2 \rightarrow \rho^2 = r^2 + a^2 \cos^2 \theta. \quad (10)$$

Следуя рассуждениям [15], необходимо заметить, что преобразования (6)–(9) не являются полностью однозначными, необходимы дополнительные условия. Обычно полагают, что $g_{rt} = g_{r\phi} = 0$. Тогда преобразованная тетрада примет вид

$$l^{\mu'} = \delta_{r'}^\mu, \quad (11)$$

$$n^{\mu'} = \sqrt{\frac{1}{\tilde{F}_r \tilde{F}_t}} \delta_{u'}^\mu - \frac{1}{2f_r} \delta_{r'}^\mu, \quad (12)$$

$$m^{\mu'} = \sqrt{\frac{1}{2\rho^2}} \left(\delta_\theta^\mu + ia \sin \theta (\delta_{u'}^\mu - \delta_{r'}^\mu) + \frac{i}{\sin \theta} \delta_\phi^\mu \right). \quad (13)$$

Используя уравнения (5) и (11)–(13), получим метрику с учетом вращения:

$$\begin{aligned} ds^2 = & -\tilde{F}_t du^2 - 2\sqrt{\tilde{F}_r \tilde{F}_t} dudr + \rho^2 d\theta^2 - \\ & - 2a \sin^2 \theta (\sqrt{\tilde{F}_r \tilde{F}_t} - \tilde{F}_t) dud\phi + \\ & + 2a \sin^2 \theta \sqrt{\tilde{F}_r \tilde{F}_t} drd\phi + \\ & + \sin^2 \theta \left(\rho^2 + a^2 \sin^2 \theta (2\sqrt{\tilde{F}_r \tilde{F}_t} - \tilde{F}_t) \right) d\phi^2. \end{aligned} \quad (14)$$

На последнем шаге необходимо использовать преобразование координат

$$\begin{aligned} du &= dt + \chi_1(r) dr, \\ d\phi &= d\varphi + \chi_2(r) dr. \end{aligned} \quad (15)$$

Следуя [15], берем $\chi_1(r)$ и $\chi_2(r)$ в виде

$$\chi_1 = -\frac{f_r(\omega + a^2)}{r^2 + a^2 f_r}, \quad (16)$$

$$\chi_2 = -\frac{f_r a}{r^2 + a^2 f_r}, \quad (17)$$

$$\omega = r^2 \sqrt{\frac{1}{f_r f_t}}. \quad (18)$$

Таким образом, окончательный вид метрики керновского типа для обсуждаемой теории имеет вид

$$\begin{aligned} g^{tt} &= -\frac{1}{\rho^2} \left[\frac{(\omega + a^2)^2}{(f_r^{-1} r^2 + a^2)} - a^2 \sin^2 \theta \right], \\ g^{t\phi} &= -\frac{1}{\rho^2} \left[\frac{(\omega + a^2)a}{(f_r^{-1} r^2 + a^2)} - a \right], \\ g^{\phi\phi} &= -\frac{1}{\rho^2} \left[\frac{a^2}{(f_r^{-1} r^2 + a^2)} - \frac{1}{\sin^2 \theta} \right], \\ g^{\theta\theta} &= \frac{1}{\rho^2}, \quad g^{rr} = \frac{f_r^{-1} r^2 + a^2}{\rho^2}. \end{aligned} \quad (19)$$

Здесь

$$\begin{aligned} \rho^2 &= r^2 + a^2 \cos^2 \theta, \\ f_s &= 1 - \frac{2MG_n}{r}, \\ f_{ex} &= \frac{\hbar G_n^2 M}{r^3}, \\ \omega &= r^2 \left(1 + \frac{(\hat{\alpha} + \hat{\beta})f_{ex}}{2} \right). \end{aligned}$$

2.2. Уравнение Гамильтона – Якоби

Для уравнений траекторий фотонов в окрестности вращающейся черной дыры необходим вид функций $S_r(r)$ и $S_\theta(\theta)$ из уравнения Гамильтона – Якоби. В случае изотропных геодезических это уравнение примет вид

$$g^{\mu\nu} \frac{\partial S}{\partial x^\mu} \frac{\partial S}{\partial x^\nu} = 0. \quad (20)$$

Так как полученная метрика не имеет явной зависимости от координат t и ϕ , существуют две сохраняющиеся величины: $E = -p_t$ и $L_z = p_\phi$ (энергия и угловой момент фотона относительно оси симметрии). Поэтому для разделения переменных ищем решение в виде

$$S = -Et + L_z\phi + S_r(r) + S_\theta(\theta). \quad (21)$$

Из уравнения (20) легко видеть, что уравнения для p_r и p_θ разделяются:

$$\frac{\rho^4(\dot{r})^2}{E^2} = \mathcal{R}(r), \quad (22)$$

$$\frac{\rho^4(\dot{\theta})^2}{E^2} = \Theta(\theta), \quad (23)$$

где

$$\mathcal{R}(r) = (\omega + a^2 - a\lambda)^2 - (f_r^{-1} r^2 + a^2) [\eta + (a - \lambda)^2],$$

$$\Theta(\theta) = \eta + \cos^2 \theta \left(a^2 - \frac{\lambda}{\sin^2 \theta} \right). \quad (24)$$

Здесь $\eta = Q/E^2$, $\lambda = L_z/E$, Q — картеровская постоянная разделения.

Для вычисления сферической орбиты фотона необходимо решить уравнения

$$\mathcal{R} = 0, \quad (25)$$

$$\frac{d\mathcal{R}}{dr} = 0. \quad (26)$$

Подставляя уравнение (24) в (25) и (26), находим решение для λ и η в виде

$$\lambda = \frac{\omega + a^2}{a} - \frac{2\omega'}{a} \frac{(f_r^{-1}r^2 + a^2)}{(f_r^{-1}r^2)'}, \quad (27)$$

$$\eta = \frac{4(f_r^{-1}r^2 + a^2)}{(f_r^{-1}r^2)'^2} \omega'^2 - \frac{1}{a^2} \left[\omega - \frac{2(f_r^{-1}r^2 + a^2)}{(f_r^{-1}r^2)'} \omega' \right]^2,$$

где штрихами обозначены производные по r . Наконец, рассматривая плоскость, перпендикулярную направлению к удаленному наблюдателю, координаты тени можно записать как

$$x' = -\frac{\lambda}{\sin \theta_0}, \quad (28)$$

$$y' = \pm \sqrt{\eta + a^2 \cos^2 \theta_0 - \frac{\lambda^2}{\tan^2 \theta_0}}, \quad (29)$$

где θ_0 — телесный угол между плоскостью вращения черной дыры и лучом зрения наблюдателя.

3. МОДЕЛИРОВАНИЕ ТЕНИ ВРАЩАЮЩЕЙСЯ ЧЕРНОЙ ДЫРЫ: ОСОБЕННОСТИ УЧЕТА ВРАЩЕНИЯ

С использованием языка Python проведено численное моделирование тени для метрики черной дыры (19). С помощью выражений (28) и (29) рассчитывались координаты X и Y на картинной плоскости. Метрика (19) использовалась с различными значениями как параметра вращения a , так и поправочных коэффициентов α и β .

Как показано ранее [16], тень вращающейся черной дыры обладает следующими признаками.

1. Горизонтальное смещение. Смещение тени вдоль положительной оси x может быть найдено с помощью выражения

$$D = \frac{x_{min} + x_{max}}{2}, \quad (30)$$

где x_{min} и x_{max} — минимальное и максимальное значения координаты x тени ЧД.

2. Асимметрия. При больших значениях параметра вращения a появляется асимметрия тени [11]:

горизонтальный диаметр становится меньше вертикального, который остается примерно постоянным. Таким образом, мерой асимметрии является горизонтальный диаметр тени:

$$\Delta x = x_{max} - x_{min}, \quad (31)$$

где x_{max} и x_{min} — минимальная и максимальная координаты x .

3. Диаметры. Обозначаем горизонтальный диаметр как

$$\Delta x = x_{max} - x_{min} = x_R - x_L, \quad (32)$$

где введены обозначения L и R для крайней левой и крайней правой точек края тени. Аналогично определяем вертикальный диаметр:

$$\Delta y = y_{max} - y_{min} = y_T - y_B = 2y_T, \quad (33)$$

где B и T — нижняя и верхняя точки края тени. Из-за симметрии тени $y_B = y_T$, и на рис. 1 *a* показана связь между Δy , Δx и точками R , L , T и B .

4. Круговая аппроксимация. Поскольку тень является почти круглой, в работе [17] предложено использовать точки T , R , B как точки, лежащие на окружности. Первой наблюдаемой величиной является радиус тени r_s . В качестве второй наблюдаемой величины вводим параметр искажения

$$\delta_{cs} = \Delta_{cs}/r_s, \quad (34)$$

где Δ_{cs} — расстояние от окружности до точки L на тени (показано на рис. 1 *b*).

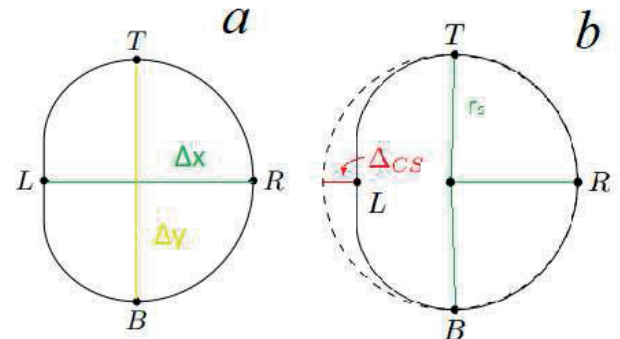


Рис. 1. Предельные значения тени R , L , T и B , а также диаметры тени Δx и Δy (*a*). Наблюдаемые r_s и Δ_{cs} , полученные из окружности, проведенной через точки T , R и B (*b*)

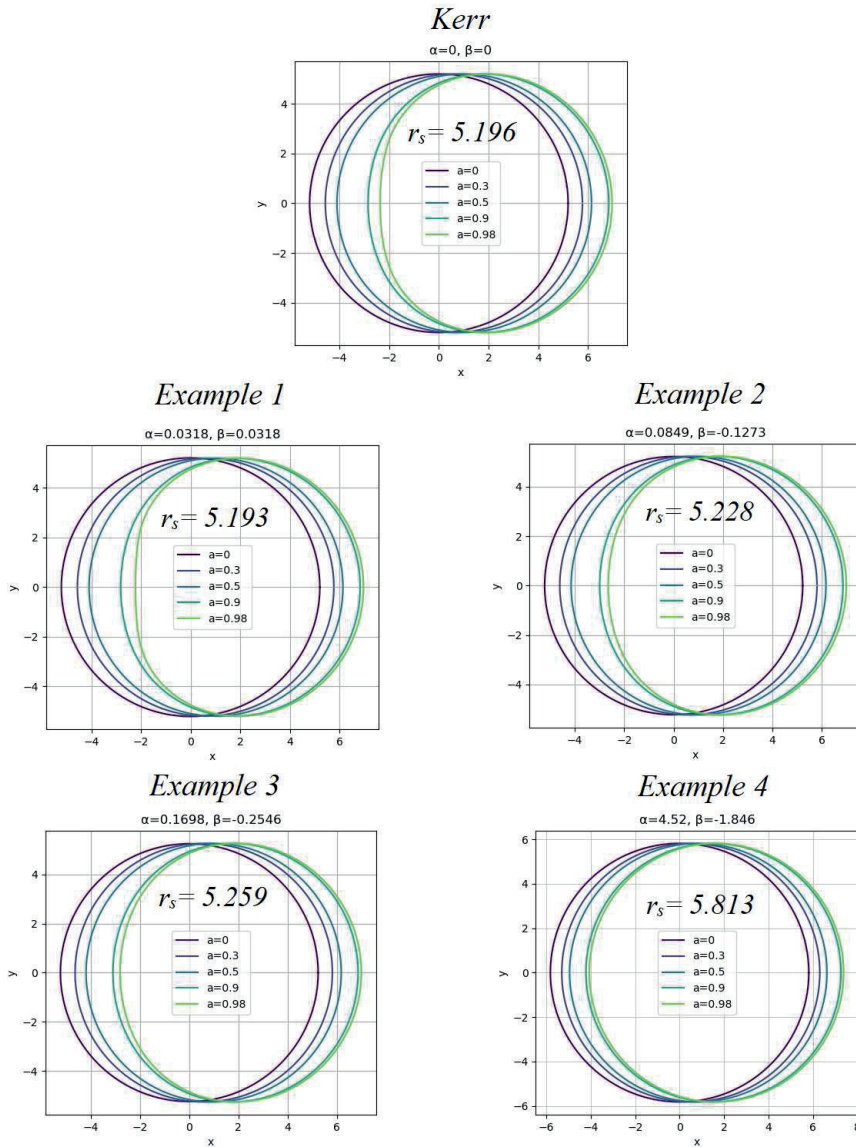


Рис. 2. Профили тени черной дыры при различных a для случая метрики Керра и различных фиксированных полей при угле наклона плоскости вращения $\theta_0 = \pi/2$

4. МОДЕЛИРОВАНИЕ ТЕНИ ЧЕРНОЙ ДЫРЫ ДЛЯ МЕТРИКИ (19)

После нескольких предварительных замечаний можно приступить к расчету зависимости размера тени от α и β . Применяя гравитационные поправки к метрике стабильной звезды, удовлетворяющей уравнению Толмена – Оппенгеймера – Волкова [18], мы вводим новые переменные $\alpha = \hat{\alpha}$ и $\beta = \hat{\beta}$, которые являются модельно-независимыми.

Необходимо отметить, что в качестве примеров мы используем значения коэффициентов из [4]. Таким образом, получены изображения теней ЧД для

$M = 1^{1)}$ и различных значений a для метрики Керра и ее расширения, определенные в [18] (в скалярном поле $\xi = 1/3$), см. рис. 2. Угол плоскости вращения равен $\theta_0 = \pi/2$. Заметим две основные особенности: во-первых, тень смещается от оси симметрии с увеличением a и, во-вторых, тень становится асимметричной вдоль направления x для больших значений a . Обе особенности исчезают при $a \rightarrow 0$, когда круглая тень для метрики Шварцшильда восстанавливается. Также заметим, что при угле $\theta_0 = \pi/2$ размер

¹⁾ Поскольку в реальном случае $M = 10^{44}$, эффект исчезает, как было указано во Введении.

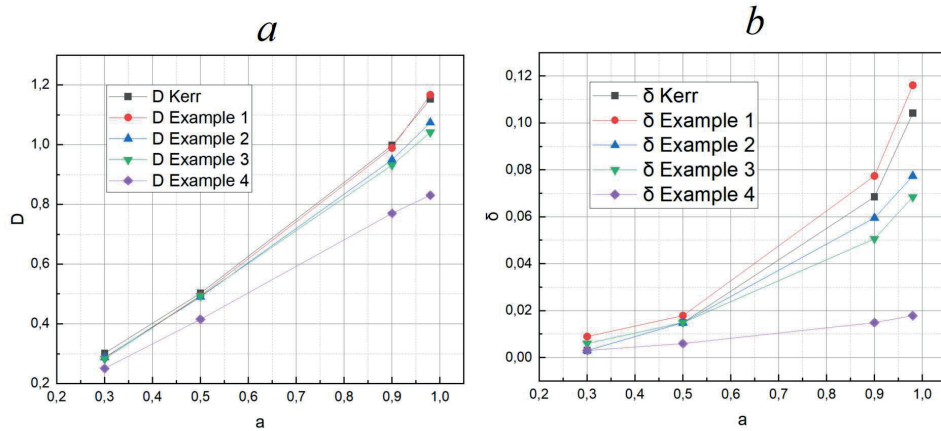


Рис. 3. Зависимости смещения D (а) и параметра искажения δ (б) от параметра вращения a для случая метрики Керра и различных фиксированных полей при угле наклона плоскости вращения $\theta_0 = \pi/2$

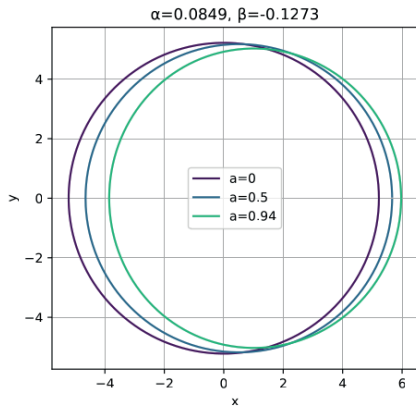


Рис. 4. Профили тени черной дыры при различных a для случая поля примера 2 при угле наклона плоскости вращения $\theta_0 = \pi/6$ (Sgr A*)

тени не меняется из-за вращения (поскольку вертикальный диаметр остается неизменным).

По результатам моделирования теней черных дыр были получены значения эффективных радиусов теней r_s (см. таблицу).

Таблица. Значения параметров α и β , а также эффективных радиусов теней r_s

Тип решения	α	β	r_s
Керр	0	0	5.196
Пример 1	0.0318	0.0318	5.193
Пример 2	0.0849	-0.1273	5.228
Пример 3	0.1698	-0.2546	5.259
Пример 4	4.52	-1.846	5.813

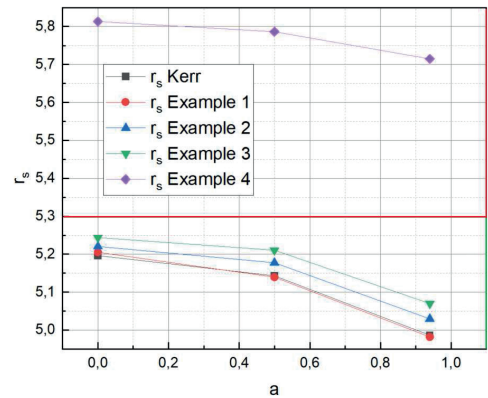


Рис. 5. Зависимости размера тени r_s от параметра вращения a для случая метрики Керра и различных фиксированных полей при угле наклона плоскости вращения $\theta_0 = \pi/6$ (Sgr A*). Красной линией выделена область, которая противоречит результатам наблюдения Sgr A*, зеленой — разрешенная

Поскольку ЕНТ были получены ограничения на размер тени черной дыры ($4.3M < r_s < 5.3M$) [19], можно отбросить последний вариант в таблице (пример 4).

Перейдем к детальному анализу изображений теней вращающихся черных дыр, а именно смещения D и параметра искажения δ . На рис. 3 а показаны зависимости смещения D от параметра вращения a во всех обсуждаемых ранее случаях: с увеличением модуля значений параметров α и β смещение становится меньше (единственное исключение — это сильное вращение $a = 0.98$ и значение для случая примера 1, что, скорее всего, связано с тем, что коэффициент β в данном случае положителен, а в остальных случаях отрицателен). Также в случае больших зна-

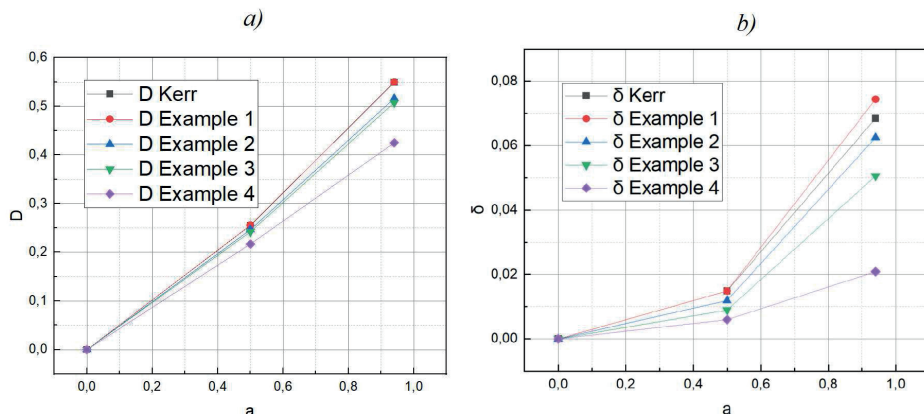


Рис. 6. Зависимости смещения D (a) и параметра искажения δ (b) от параметра вращения a для случая метрики Керра и различных фиксированных полей при угле наклона плоскости вращения $\theta_0 = \pi/6$ (Sgr A*)

чений модуля коэффициентов α и β смещение линейно зависит от параметра вращения a . Однако на практике данный параметр невозможно определить корректно, поскольку нет информации о точном начале координат для данной метрики. Теперь перейдем к параметру искажения δ (рис. 3 b). Больше всего тень отличается от сферической формы в случае примера 1. При этом в случае примера 4 при больших модулях α и β тень даже при больших значениях параметра вращения a остается практически сферически-симметричной.

5. ОГРАНИЧЕНИЯ ОТ РЕЗУЛЬТАТОВ НАБЛЮДЕНИЙ SGR A*

Теперь перейдем непосредственно к сравнению с результатами фотографирования черной дыры Sgr A*. В [19] показано, что наиболее вероятные значения параметра вращения a — это 0.5 и 0.94. Эти предположения оказались возможны, поскольку Sgr A* находится в нашей галактике и удалось получить данные по орбитам звезд вокруг этой ЧД. На рис. 4 показаны профили тени черной дыры Sgr A* из данных ЕНТ (наклон плоскости вращения $\theta_0 = \pi/6$, значения параметра вращения a равны 0.5 и 0.94). Также, для сравнения, показан случай с $a = 0$. Как можно заключить из профилей теней, в случае данного угла наклона форма тени искажается незначительно, но при этом радиус тени меняется. Начнем с анализа размера тени ЧД (рис. 5). В отличие от случая $\theta_0 = \pi/2$, при $\theta_0 = \pi/6$ размер тени зависит от параметра вращения a . Как следует из графика, ограничения ЕНТ проходят все поля (зеленая область), кроме поля из примера 4 (уже в красной области). Теперь перейдем к смещению D (рис. 6 a).

Заключаем, что смещение значительно меньше, чем в рассмотренном в разд. 4 случае. Что касается параметра искажения δ (рис. 6 b), максимальное искажение получится при $a = 0.94$ и равно около 5–8% (кроме случая примера 4). При этом при параметре вращения $a = 0.5$ искажение составит около 1.5%.

6. ОБСУЖДЕНИЕ И ВЫВОДЫ

В данной работе с помощью алгоритма Ньютона – Яниса было получено вращающееся решение для модели квантовой гравитации с действием (1). Проведено моделирование тени ЧД для вращающейся метрики для чисто квазикерровского случая и с учетом дополнительных полей в пределе $M = 1$. Для более наглядного представления результатов выбран угол $\theta_0 = 90^\circ$, поскольку в этом случае тень больше деформируется при сильном вращении. Из ограничений на размер тени [12] отброшен случай примера 4 ($r_s = 5.813$ при максимально разрешенном 5.3). Também показано, что при больших значениях a при всех возможных полях, кроме примера 4 (который уже отброшен), тень черной дыры сильно деформируется. Для метрики типа Керра и примера 1 деформация составляет около 10–11%, а для примера 2 и примера 3 — 5–8%. Для фиксации этой деформации требуется гораздо меньшее разрешение, чем для фиксации изменения размера тени из-за поправок второго и третьего порядков, как было показано ранее [6–10]. В обсуждаемом приближении $M = 1$ поправки и вращение вносят противоположные друг другу вклады и, следовательно, могут компенсировать друг друга. Таким образом, в будущем при повышении точности наблюдений и, следовательно, теоретического

воспроизведения новых результатов можно было бы учитывать нелокальные члены (если они имеют порядок, приближающийся к массе ЧД) вместо введения новых полей.

С помощью результатов ЕНТ [19] показано, что наиболее вероятный угол наклона для Sgr A* составляет $\theta_0 = 30^\circ$, а наиболее вероятные значения a — это 0.5 и 0.94. Нами показано, что в упомянутом случае (в гипотетическом случае $M = 1$) тень деформируется несущественно. При $a = 0.94$ деформация составит около 5–8% (кроме примера 4), а при $a = 0.5$ — около 1.5%. Поэтому при дальнейшем улучшении разрешающей способности можно будет точно определить параметры вращения Sgr A*. Также при данном наклоне плоскости вращения размер тени зависит от параметра вращения a , что также поможет определить его значение при лучшей точности наблюдений.

В итоге нами предложен алгоритм учета нелокальных гравитационных эффектов при моделировании теней ЧД. Алгоритм не зависит от ультрафиолетового предела теории квантовой гравитации и может быть легко масштабирован на другие нелокальные теории.

Финансирование. Работа выполнена при поддержке Российского научного фонда (грант №23-22-00073).

ЛИТЕРАТУРА

1. А. О. Барвинский, УФН **175**, 569 (2005).
2. Е. Е. Боос, В. Е. Буничев, И. П. Волобуев, М. Н. Смоляков, ЭЧАЯ **43**, 1 (2012).
3. S. Alexeyev, X. Calmet, and B. Latosh, Phys. Lett. B **776**, 111 (2018).
4. X. Calmet, R. Casadio, and F. Kuipers, Phys. Rev. D **100**, 086010 (2019).
5. С. О. Алексеев, Б. Н. Латоп, В. А. Ечестов, ЖЭТФ **152**, 1271 (2017).
6. A. Zakharov, Phys. Rev. D **90**, 062007 (2014).
7. С. О. Алексеев, Д. А. Стародубцева, ЖЭТФ **138**, 652 (2010).
8. В. А. Прокопов, С. О. Алексеев, О. И. Зенин, ЖЭТФ **162**, 108 (2022).
9. В. А. Прокопов, С. О. Алексеев, О. И. Зенин, ЖЭТФ **162**, 878 (2022).
10. S. Alexeyev and V. Prokhorov, Universe **8**, 283 (2022).
11. С. О. Алексеев, В. А. Прокопов, ЖЭТФ **157**, 796 (2020).
12. The Event Horizon Telescope Collaboration, Astrophys. J. Lett. **930**, L13 (2022).
13. H. Erbin, Universe **3**, 19 (2017).
14. E. T. Newman and A. I. Janis, J. Math. Phys. **6**, 915 (1965).
15. H. C. D. Lima Jun., L. C. B. Crispino, P. V. P. Cunha, and C. A. R. Herdeiro, Eur. Phys. J. C **80**, 1036 (2020).
16. H. Kenta and K. Maeda, Phys. Rev. D **80**, 024042 (2009).
17. K. Hioki and Kei-ichi Maeda, Phys. Rev. D **80**, 024042 (2009).
18. X. Calmet and B. K. El-Menoufi, Eur. Phys. J. C **77**, 243 (2017).
19. The Event Horizon Telescope Collaboration, Astrophys. J. Lett. **930**, L17 (2022).